

Weryfikacja programów rekurencyjnych

Marcin Sulikowski

MIMUW

2 marca 2011

- 1 Programy rekurencyjne
- 2 Systemy ze stosem
- 3 Weryfikacja systemów ze stosem
- 4 Zastosowania
- 5 Narzędzia

Programy rekurencyjne

- Imperatywne
- Funkcje rekurencyjne
- Niedeterminizm
- Bez współbieżności
- Skończone dziedziny zmiennych

Stan programu rekurencyjnego

- Adres aktualnej instrukcji
- Zmienne globalne
- Zmienne lokalne aktualnej procedury
- Stos rekordów aktywacji (adresy powrotu, zmienne lokalne)

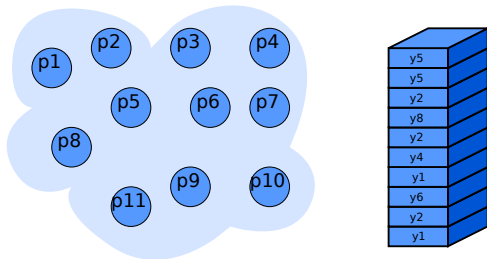
System ze stosem (PDS)

System ze stosem to krotka $\mathcal{P} = (P, \Gamma, \Delta)$

- P – zbiór stanów (punktów sterowania)
- Γ – alfabet stosowy
- $\Delta \subseteq (P \times \Gamma) \times (P \times \Gamma^*)$

Jeśli $(p, \gamma, p', w) \in \Delta$, to zapisujemy to $(p, \gamma) \hookrightarrow (p', w)$

Konfiguracją nazwiemy parę $\langle p, w \rangle$, gdzie $p \in P$, $w \in \Gamma^*$.



System ze stosem (PDS)

Interpretacja konfiguracji $\langle p, \gamma v \rangle$

- p – wartości zmiennych globalnych
- γ – aktualna instrukcja, wartości zmiennych lokalnych
- v – stos rekordów aktywacji

Interpretacja relacji Δ

- $(p, \gamma) \hookrightarrow (p', \gamma')$ – zwykła instrukcja
- $(p, \gamma) \hookrightarrow (p', \gamma' \gamma'')$ – wywołanie procedury
- $(p, \gamma) \hookrightarrow (p', \varepsilon)$ – powrót z procedury

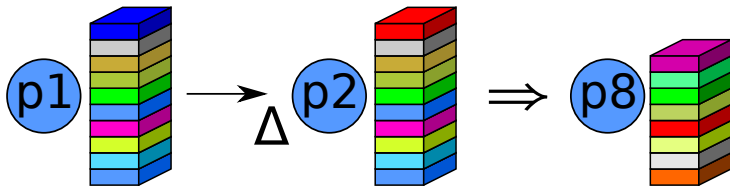
Weryfikacja programów rekurencyjnych

- LTL, CTL, CTL*
- Poprawność (asercje)

Weryfikacja systemów ze stosem

Osiągalność

- Relacja **bezpośredniego następnika** \longrightarrow_{Δ}
Jeśli $(p, \gamma) \hookrightarrow (p', w)$, to dla każdego $w' \in \Gamma^*$:
 $\langle p, \gamma w' \rangle \longrightarrow_{\Delta} \langle p', w w' \rangle$.
- **Relacja osiągalności** \Rightarrow
Zwrotne i przechodnie domknięcie relacji \longrightarrow_{Δ}



Weryfikacja systemów ze stosem

Osiągalność

- Dla danego zbioru konfiguracji C określamy funkcję pre :
 $pre(C)$ – zbiór bezpośrednich poprzedników,
 $pre^*(C)$ – zwrotne i przechodnie domknięcie pre .
Mamy:

$$pre^*(C) = \{c \in P \times \Gamma^* \mid \exists c' \in C. c \Rightarrow c'\}$$

Podobnie:

$$post^*(C) = \{c \in P \times \Gamma^* \mid \exists c' \in C. c' \Rightarrow c\}$$

- **Problem osiągalności:** czy dla danego $C \in P \times \Gamma^*$ stan początkowy należy do $pre^*(C)$?

Problemy

- Zbiór $pre^*(C)$ jest przeważnie **nieskończony**
- Należy znaleźć metodę reprezentowania takich zbiorów za pomocą struktur, które:
 - są skończone
 - są zamknięte ze względu na podstawowe operacje (suma, iloczyn)
 - zapewniają, że sprawdzenie czy element należy do reprezentowanego przez nie zbioru jest rozstrzygalne

Multiautomat (ang. *multi-automaton*)

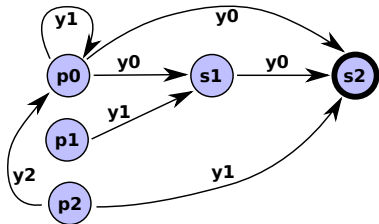
Dla PDS $\mathcal{P} = (P, \Gamma, \Delta)$ określamy \mathcal{P} -multiautomat (\mathcal{P} -MA) jako krotkę $\mathcal{A} = (Q, \Gamma, \delta, P, F)$, gdzie:

- Q – zbiór stanów
- $\delta \subseteq Q \times \Gamma \times Q$ – relacja przejścia (zbiór tranzycji)
- $P \subseteq Q, F \subseteq Q$ – zbiory stanów początkowych i końcowych

Jeśli automat zaczynając w stanie q po wczytaniu słowa w może znaleźć się w stanie q' to piszemy $q \xrightarrow{w} q'$.

\mathcal{A} **akceptuje** $\langle p, w \rangle$ jeśli $p \xrightarrow{w} q$ dla pewnego $q \in F$.

$Conf(\mathcal{A})$ – zbiór konfiguracji akceptowanych przez automat.



Regularność zbioru konfiguracji

Zbiór konfiguracji $C \subseteq P \times \Gamma^*$ nazwiemy **regularnym**, gdy dla każdego punktu sterowania $p \in P$ zbiór $\{w \in \Gamma^* \mid \langle p, w \rangle \in C\}$ jest regularny.

$C \subseteq P \times \Gamma^*$ jest regularny wtedy i tylko wtedy, gdy istnieje multiautomat akceptujący C .

Regularność zbioru konfiguracji

Zbiór konfiguracji $C \subseteq P \times \Gamma^*$ nazwiemy **regularnym**, gdy dla każdego punktu sterowania $p \in P$ zbiór $\{w \in \Gamma^* \mid \langle p, w \rangle \in C\}$ jest regularny.

$C \subseteq P \times \Gamma^*$ jest regularny wtedy i tylko wtedy, gdy istnieje multiautomat akceptujący C .

Twierdzenie

Jeśli C jest regularny, to $pre^*(C)$ też jest regularny.

Obliczanie $pre^*(C)$

- $X_0 = C$
- $X_{i+1} = X_i \cup pre(X_i)$
- $pre^*(C) = \bigcup_{i \geq 0} X_i$

Obliczanie $pre^*(C)$

- $X_0 = C$
- $X_{i+1} = X_i \cup pre(X_i)$
- $pre^*(C) = \bigcup_{i \geq 0} X_i$

Taka metoda **nie zbiega** do punktu stałego...

$(p, \gamma) \hookrightarrow (p, \varepsilon)$, $C = \{\langle p, \varepsilon \rangle\}$ daje:

$X_i = \{\langle p, \varepsilon \rangle, \langle p, \gamma \rangle, \dots, \langle p, \gamma^i \rangle\}$

Obliczanie $pre^*(C)$

Skonstruujemy rosnący ciąg zbiorów konfiguracji Y_i , który posiada własności:

$$W1. \exists i \geq 0. Y_{i+1} = Y_i$$

$$W2. \forall i \geq 0. X_i \subseteq Y_i$$

$$W3. \forall i \geq 0. Y_i \subseteq \bigcup_{j \geq 0} X_j$$

Obliczanie $pre^*(C)$

Skonstruujemy rosnący ciąg zbiorów konfiguracji Y_i , który posiada własności:

$$W1. \exists i \geq 0. Y_{i+1} = Y_i$$

$$W2. \forall i \geq 0. X_i \subseteq Y_i$$

$$W3. \forall i \geq 0. Y_i \subseteq \bigcup_{j \geq 0} X_j$$

konstruując ciąg **automatów** $\mathcal{A}_0, \mathcal{A}_1, \dots$ o tym samym zbiorze stanów, ale o rosnących zbiorach tranzycji. $Y_i = Conf(\mathcal{A}_i)$.

Obliczanie $pre^*(C)$

- $\mathcal{A}_0 = \mathcal{A}$, gdzie $Conf(\mathcal{A}) = C$
- \mathcal{A}_{i+1} powstaje z \mathcal{A}_i przez dodanie dla każdej reguły $(p^j, \gamma) \hookrightarrow (p^k, w)$ oraz każdego stanu $q \in Q$ t. że. $p^k \xrightarrow{w}_i q$ nowej tranzycji (p^j, γ, q) .

Przykład

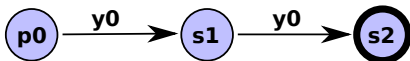
\mathcal{A}_{i+1} powstaje z \mathcal{A}_i przez dodanie dla każdej reguły $(p^j, \gamma) \hookrightarrow (p^k, w)$ oraz każdego stanu $q \in Q$ t. że. $p^k \xrightarrow{w}_i q$ nowej tranzycji (p^j, γ, q) .

$\langle p_0, y_0 \rangle \hookrightarrow \langle p_1, y_1 y_0 \rangle$

$\langle p_1, y_1 \rangle \hookrightarrow \langle p_2, y_2 y_0 \rangle$

$\langle p_2, y_2 \rangle \hookrightarrow \langle p_0, y_1 \rangle$

$\langle p_0, y_1 \rangle \hookrightarrow \langle p_0, \varepsilon \rangle$



$C = \{ \langle p_0, y_0 y_0 \rangle \}$



Przykład

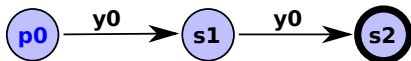
\mathcal{A}_{i+1} powstaje z \mathcal{A}_i przez dodanie dla każdej reguły $(p^j, \gamma) \hookrightarrow (p^k, w)$ oraz każdego stanu $q \in Q$ t. że. $p^k \xrightarrow{w}_i q$ nowej tranzycji (p^j, γ, q) .

$\langle p_0, y_0 \rangle \hookrightarrow \langle p_1, y_1 y_0 \rangle$

$\langle p_1, y_1 \rangle \hookrightarrow \langle p_2, y_2 y_0 \rangle$

$\langle p_2, y_2 \rangle \hookrightarrow \langle p_0, y_1 \rangle$

$\langle p_0, y_1 \rangle \hookrightarrow \langle p_0, \varepsilon \rangle$



$C = \{ \langle p_0, y_0 y_0 \rangle \}$



Przykład

\mathcal{A}_{i+1} powstaje z \mathcal{A}_i przez dodanie dla każdej reguły $(p^j, \gamma) \hookrightarrow (p^k, w)$ oraz każdego stanu $q \in Q$ t. że. $p^k \xrightarrow{w}_i q$ nowej tranzycji (p^j, γ, q) .

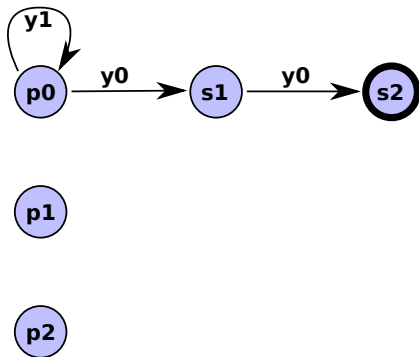
$\langle p_0, y_0 \rangle \hookrightarrow \langle p_1, y_1 y_0 \rangle$

$\langle p_1, y_1 \rangle \hookrightarrow \langle p_2, y_2 y_0 \rangle$

$\langle p_2, y_2 \rangle \hookrightarrow \langle p_0, y_1 \rangle$

$\langle p_0, y_1 \rangle \hookrightarrow \langle p_0, \varepsilon \rangle$

$C = \{ \langle p_0, y_0 y_0 \rangle \}$



Przykład

\mathcal{A}_{i+1} powstaje z \mathcal{A}_i przez dodanie dla każdej reguły $(p^j, \gamma) \hookrightarrow (p^k, w)$ oraz każdego stanu $q \in Q$ t. że. $p^k \xrightarrow{w}_i q$ nowej tranzycji (p^j, γ, q) .

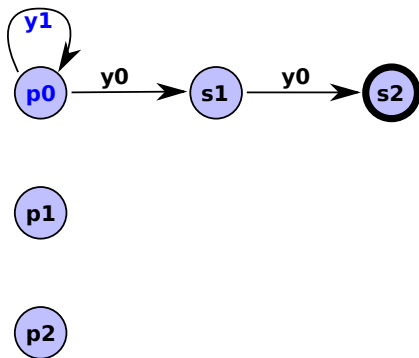
$\langle p_0, y_0 \rangle \hookrightarrow \langle p_1, y_1 y_0 \rangle$

$\langle p_1, y_1 \rangle \hookrightarrow \langle p_2, y_2 y_0 \rangle$

$\langle p_2, y_2 \rangle \hookrightarrow \langle p_0, y_1 \rangle$

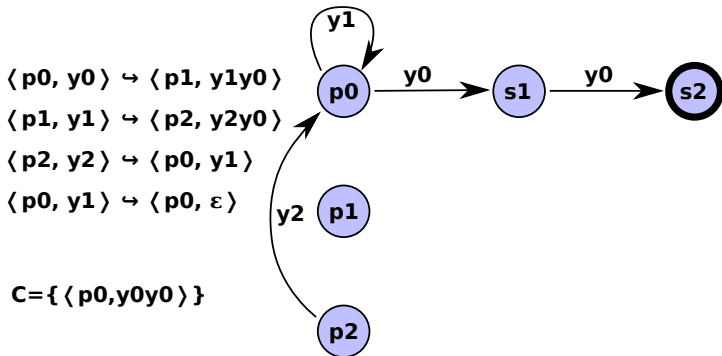
$\langle p_0, y_1 \rangle \hookrightarrow \langle p_0, \varepsilon \rangle$

$C = \{ \langle p_0, y_0 y_0 \rangle \}$



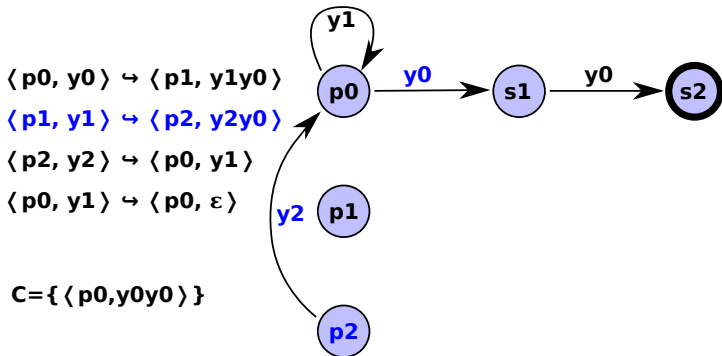
Przykład

\mathcal{A}_{i+1} powstaje z \mathcal{A}_i przez dodanie dla każdej reguły $(p^j, \gamma) \leftrightarrow (p^k, w)$ oraz każdego stanu $q \in Q$ t. że. $p^k \xrightarrow{w}_i q$ nowej tranzycji (p^j, γ, q) .



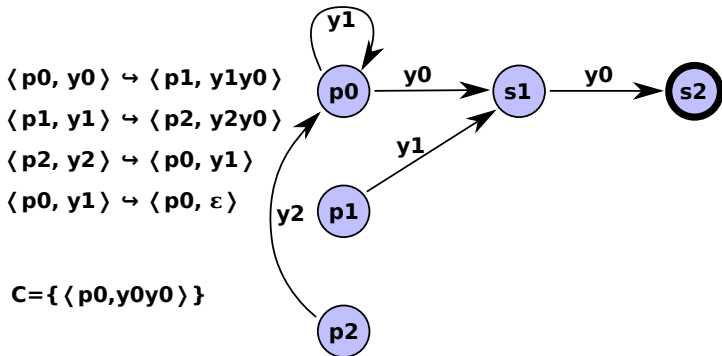
Przykład

\mathcal{A}_{i+1} powstaje z \mathcal{A}_i przez dodanie dla każdej reguły $(p^j, \gamma) \leftrightarrow (p^k, w)$ oraz każdego stanu $q \in Q$ t. że. $p^k \xrightarrow{w}_i q$ nowej tranzycji (p^j, γ, q) .



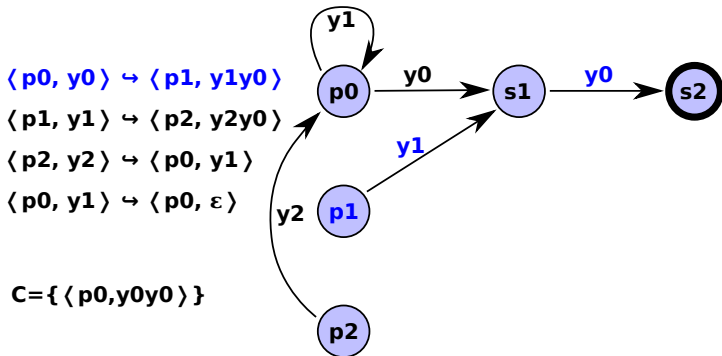
Przykład

\mathcal{A}_{i+1} powstaje z \mathcal{A}_i przez dodanie dla każdej reguły $(p^j, \gamma) \leftrightarrow (p^k, w)$ oraz każdego stanu $q \in Q$ t. że. $p^k \xrightarrow{w}_i q$ nowej tranzycji (p^j, γ, q) .



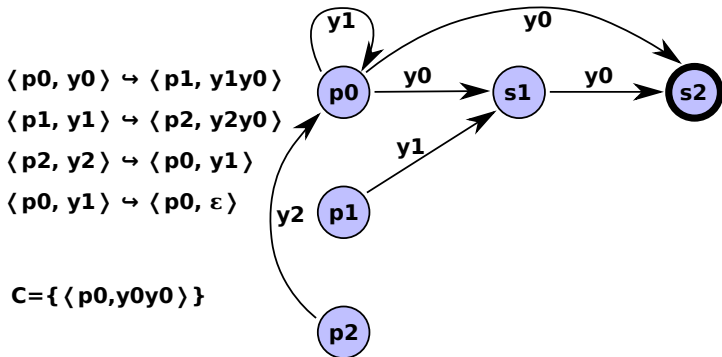
Przykład

\mathcal{A}_{i+1} powstaje z \mathcal{A}_i przez dodanie dla każdej reguły $(p^j, \gamma) \leftrightarrow (p^k, w)$ oraz każdego stanu $q \in Q$ t. że. $p^k \xrightarrow{w}_i q$ nowej tranzycji (p^j, γ, q) .



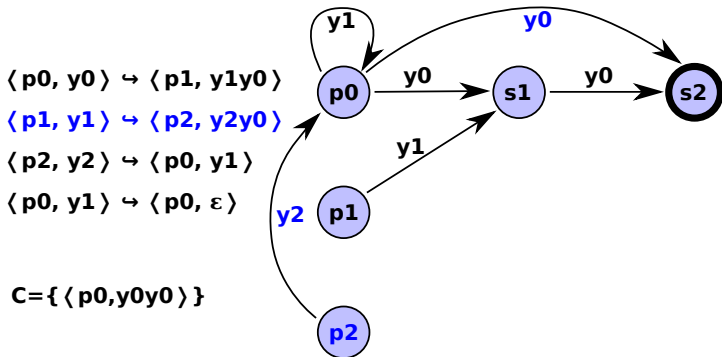
Przykład

\mathcal{A}_{i+1} powstaje z \mathcal{A}_i przez dodanie dla każdej reguły $(p^j, \gamma) \leftrightarrow (p^k, w)$ oraz każdego stanu $q \in Q$ t. że. $p^k \xrightarrow{w}_i q$ nowej tranzycji (p^j, γ, q) .



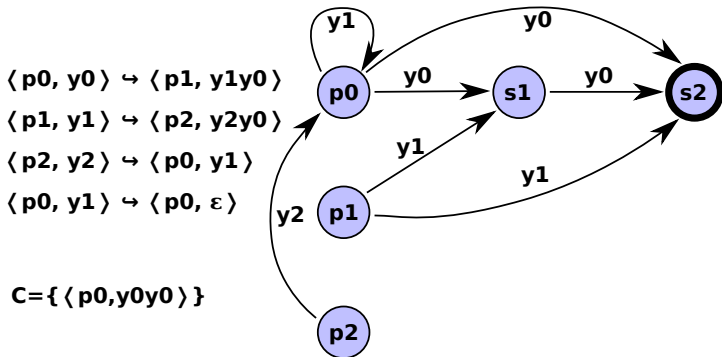
Przykład

\mathcal{A}_{i+1} powstaje z \mathcal{A}_i przez dodanie dla każdej reguły $(p^j, \gamma) \leftrightarrow (p^k, w)$ oraz każdego stanu $q \in Q$ t. że. $p^k \xrightarrow{w}_i q$ nowej tranzycji (p^j, γ, q) .



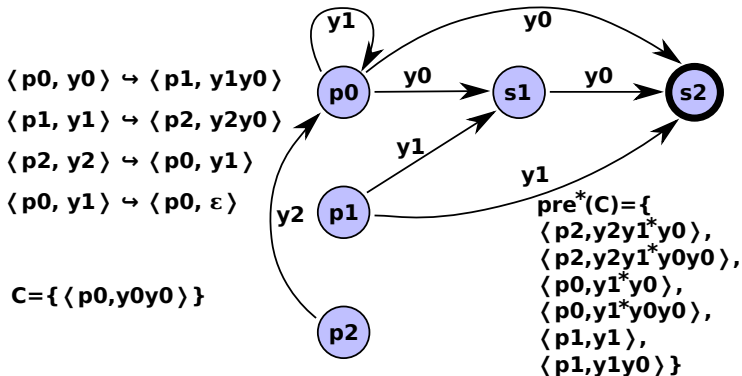
Przykład

\mathcal{A}_{i+1} powstaje z \mathcal{A}_i przez dodanie dla każdej reguły $(p^j, \gamma) \leftrightarrow (p^k, w)$ oraz każdego stanu $q \in Q$ t. że. $p^k \xrightarrow{w}_i q$ nowej tranzycji (p^j, γ, q) .



Przykład

\mathcal{A}_{i+1} powstaje z \mathcal{A}_i przez dodanie dla każdej reguły $(p^j, \gamma) \leftrightarrow (p^k, w)$ oraz każdego stanu $q \in Q$ t. że. $p^k \xrightarrow{w}_i q$ nowej tranzycji (p^j, γ, q) .



Obliczanie $post^*(C)$

Założenie: dla $(p, \gamma) \hookrightarrow (p', w)$ mamy $|w| \leq 2$, $C = Conf(\mathcal{A})$.

Oznaczmy relację $\left(\xrightarrow{\varepsilon}\right)^* \xrightarrow{\gamma} \left(\xrightarrow{\varepsilon}\right)^*$ przez $\xRightarrow{\gamma}$

krok I Dla każdego $r = (p, \gamma) \hookrightarrow (p', \gamma'\gamma'') \in \Delta$ dodaj do \mathcal{A} stan r i tranzycję (p', γ', r) .

krok II Dodaj tranzycje zgodnie z zasadami:

- Jeśli $(p, \gamma) \hookrightarrow (p', \varepsilon) \in \Delta$ i $p \xRightarrow{\gamma} q$, to dodaj (p', ε, q)
- Jeśli $(p, \gamma) \hookrightarrow (p', \gamma') \in \Delta$ i $p \xRightarrow{\gamma} q$, to dodaj (p', γ', q)
- Jeśli $(p, \gamma) \hookrightarrow (p', \gamma'\gamma'') \in \Delta$ i $p \xRightarrow{\gamma} q$, to dodaj (r, γ'', q)

Złożoność

$\mathcal{P} = (P, \Gamma, \Delta)$, $C = \text{Conf}(\mathcal{A})$, $\mathcal{A} = (Q, \Gamma, \delta, P, F)$:

- Obliczanie $\text{pre}^*(C)$ w czasie $\mathcal{O}(|Q|^2|\Delta|)$ i pamięci $\mathcal{O}(|Q||\Delta| + |\delta|)$
- Obliczanie $\text{post}^*(C)$ w czasie i pamięci $\mathcal{O}(|P||\Delta|(|Q| + |\Delta|) + |P||\delta|)$

Sprawdzanie asercji

Asercja może być niespełniona \Rightarrow

osiągalny stan błędu \Rightarrow

$pre^*(Error) \cap Init$ – **kontrprzykłady**

Weryfikacja LTL

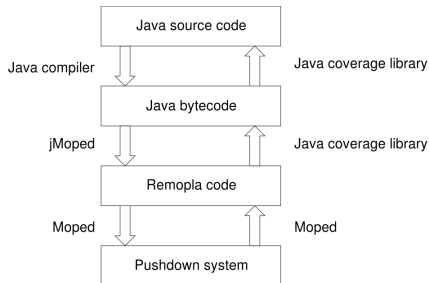
- $\mathcal{P} = (P, \Gamma, \Delta)$
- Formuła LTL $\varphi \longrightarrow$ **automat Büchiego** \mathcal{B} dla $\neg\varphi$
- $\mathcal{P} \times \mathcal{B} = \mathcal{BP}$ – **system Büchiego** ze stosem
 G – zbiór stanów akceptujących. Określmy relację na konfiguracjach: $c \xrightarrow{r} c'$ gdy $c \Rightarrow \langle g, u \rangle \Rightarrow^+ c'$ dla $g \in G$.
 $\langle p, \gamma \rangle$ nazwiemy **powracającą głową** jeśli $\langle p, \gamma \rangle \xrightarrow{r} \langle p, \gamma v \rangle$.
 R – zbiór powracających głów, obliczalny w czasie wielomianowym.
- $post^*(Init) \cap pre^*(R\Gamma^*)$ – zbiór kontrprzykładów

Moped





- Weryfikacja osiągalności dla programów rekurencyjnych w języku Remopla
- Remopla \longrightarrow PDS
- BDD dla efektywnej reprezentacji
- CEGAR

jMoped

- Testowanie i weryfikacja programów w Javie
- Translator: bajtkod Java → Remopla
- Dodatkowo: ograniczona weryfikacja programów współbieżnych



Bibliografia

-  A. Bouajjani, J. Esparza, O. Maler
Reachability analysis of pushdown automata: Application to model-checking
CONCUR '97, t. 1243 LNCS, ss. 135-150. Springer, 1997.
-  F. Berger
A Test and Verification Environment For Java Programs
praca dyplomowa, Institut für Formale Methoden der Informatik, Universität Stuttgart
-  J. Esparza, D. Hansel, P. Rossmanith, S. Schwoon
Efficient Algorithms for Model Checking Pushdown Systems
CAV, t. 1855 LNCS, ss. 232-247. Springer, 2000.
-  <http://www7.in.tum.de/tools/jmoped>